

УДК: 519.8

Ускоренная альтернативная минимизация и адаптивность к сильной выпуклости

Н. К. Тупица¹

¹Московский физико-технический институт,
Россия, Долгопрудный

¹Институт проблем передачи и обработки информации,
Россия, Москва

¹Национальный исследовательский университет «Высшая школа экономики»,
Россия, Москва

Получено 01.06.2016.

Принято к публикации 01.06.2016.

В первой части работы приводится ускоренный метод (AGM) первого порядка для выпуклых функций с L -липшицевый градиентом, способный автоматически распознавать задачу для которой выполнено условие Поляка-Лоясиевича с константой μ или являющуюся сильно выпуклой с константой μ . В этих случаях метод демонстрирует линейную сходимость с фактором $\frac{\mu}{L}$, в случае если константа μ неизвестна. Если значение μ известно, то линейная сходимость гарантируется с фактором $\sqrt{\frac{\mu}{L}}$. Если условие не выполнено или задача не является сильно выпуклой, то метод сходится со скоростью $O(1/k^2)$.

Во второй части представлена модификация метода AGM для решения задач, допускающих альтернативную минимизацию (Alternating AGM). Доказываются аналогичные режимы сходимости.

Таким образом, представлены ускоренные методы демонстрирующие режим линейной сходимости, а именно имеют скорость сходимости $O\left(\min\left\{\frac{LR^2}{k^2}, \left(1 - \frac{\mu}{L}\right)^{(k-1)} LR^2\right\}\right)$, если выполнено условие Поляка-Лоясиевича или являющуюся сильно выпуклой при неизвестной константе μ . Если же условие Поляка-Лоясиевича не выполнено, то сходимость $O(1/k^2)$, но алгоритм при этом не требует никаких изменений.

Также рассматривается адаптивная каталист-оболочка, которая позволяет увеличивать скорость сходимости методов до $O(1/k^2)$, и проводится экспериментальное сравнение градиентного метода с адаптивным выбором шага, ускоренного с помощью адаптивной каталист-оболочки с методами AGM, Alternating AGM, APDAGD и алгоритмом Синхорна на примере задачи двойственной к задаче оптимального транспорта.

Результатом работы является попытка объяснения причины более быстрой работы метода Alternating AGM по сравнению с адаптивной каталист оболочкой и методом AGM, несмотря на асимптотически одинаковые гарантии скорости сходимости $O(1/k^2)$. А именно возможной адаптивности к сильной выпуклости метода Alternating AGM. Гипотеза была проверена на квадратичных задачах, на которых Alternating AGM также оказался быстрее.

Ключевые слова: выпуклая оптимизация, альтернативная минимизация

© 2020 Назарий Константинович Тупица
Статья доступна по лицензии Creative Commons Attribution-NoDerivs 3.0 Unported License. Чтобы получить текст лицензии,
посетите вебсайт <http://creativecommons.org/licenses/by-nd/3.0/> или отправьте письмо в Creative Commons, PO Box 1866,
Mountain View, CA 94042, USA.

UDC: 519.8

Accelerated alternating minimization and adaptability to strong convexity

N. K. Tupitsa¹

¹Moscow Institute of Physics and Technology,
Dolgoprudny, Russia

¹Institute for Information Transmission Problems RAS,
Moscow, Russia

¹National Research University Higher School of Economics,
Moscow, Russia

Received 01.06.2016.

Accepted for publication 01.06.2016.

In the first part of the paper we consider accelerated first order optimization method for convex functions with L -Lipschitz-continuous gradient, that is able to automatically adapts to problems which satisfies Polyak-Łojasiewicz condition or which is strongly convex with the value of parameter equal to μ . In these cases method possesses linear convergence with factor $\frac{\mu}{L}$, if μ is unknown. If μ is known, the the method poses linear convergence with the factor $\sqrt{\frac{\mu}{L}}$. If that are not the cases, the method converges with a rate $O(1/k^2)$.

The second part contains generalization of the method to the problems, that allows alternating minimization and proofs of the same asymptotic convergence rates.

As a result, it is presented accelerated methods, that are poses linear convergence rate, specifically $O\left(\min\left\{\frac{LR^2}{k^2}, \left(1 - \frac{\mu}{L}\right)^{(k-1)} LR^2\right\}\right)$, if the Polyak-Łojasiewicz condition holds or if the problem is strongly convex with the value of parameter equal to μ . If the Polyak-Łojasiewicz condition does not hold or the problem is not strongly convex, methods poses $O(1/k^2)$ convergence rate, but the methods do not need any adjustment.

Also it is considered the approach called Adaptive Catalyst, which allows to increase convergence rate up to $O(1/k^2)$ and also it is provided an experimental comparison of the approach with AGM, Alternating AGM, APDAGD and Sinkhorn's algorithm for the dual problem to the discrete entropically regularized optimal transport problem.

The result of the work is the attempt to explain the reason why Alternating AGM converge faster than AGM or Adaptive Catalyst despite of the asymptotic theoretical rate $O(1/k^2)$. The hypothesis relies on the fact that Alternating AGM adapts to strong convexity. The hypothesis was tested on quadratic functions, on that Alternating AGM also showed faster convergence.

Keywords: convex optimization, alternating minimization

Citation: Computer Research and Modeling, 2020, vol. 10, no. 1, pp. 1–16 (Russian).

This research was funded by Russian Science Foundation (project 18-71-10108).

Введение

В данной работе рассматривается задача безусловной оптимизации

$$\min_{x \in \mathbb{R}^m} f(x), \quad (1)$$

где $f(x)$ выпуклая с L -липшицевым градиентом. При этом, основным предположением является возможность разделить пространство \mathbb{R}^m на n непересекающихся подпространств $L_i \in \mathbb{R}^m$, s.t. $\cup L_i = \mathbb{R}^m$ и возможность явно минимизировать функцию f на каждом из подпространств, при прочих фиксированных аргументах. Более формально, предполагается, что f имеет блочную структуру $f(x) = f(x_1, \dots, x_n)$, и известно явное решение каждой из задач:

$$x_i^* = \arg \min_{z \in \mathbb{R}^{n_i}} f(x_1, \dots, x_{i-1}, z, x_{i+1}, \dots, x_n), \sum n_i = m.$$

В этих предположениях классической и естественной является идея альтернативной минимизации [Ortega, Rheinboldt, 2000; Bertsekas, Tsitsiklis, 1989], где функции минимизируется на каждом подпространстве по очереди. Для гладких сильно выпуклых задач при некоторых дополнительных предположениях была получена линейная сходимость в работе [Luo, Tseng, 1993]. В работе [Beck, 2015] изучен алгоритм альтернативной минимизации для двухблочной функции в достаточно общих предположениях. Предположения заключаются в существовании хотя одной гладкой блочной компоненты. Также показано, что негладкость допустима композитного слагаемого, что не влияет свойства сходимости. Поскольку среди этих предположений нет сильной выпуклости, получена лишь сублинейная скорость сходимости $O(1/k)$, где k номер итерации. Похожий результат получен для произвольного числа блоков [Hong et al., 2017; Sun, Hong, 2015]. В предположениях гладкости и сильной выпуклости в работе [Nutini et al., 2015] получена линейная сходимость для произвольного числа блоков. Скорость сходимости пропорциональна κ – эффективному числу обусловленности задачи. В работе [Chambolle et al., 2017] представлен ускоренный алгоритм альтернативной минимизации для задачи специального вида и для двух блоков, а именно с задачей вида суммы квадратичных функций с композитными членами проксимального вида. Получена скорость сходимости порядка $O(1/k^2)$ для выпуклых постановки линейная с экспонентой $\sqrt{\kappa}$ в сильно выпуклом случае. В работе [Diakonikolas, Orecchia, 2018] рассмотрен неускоренный алгоритм альтернативной минимизации и получена скорость сходимости $O(1/k)$ в выпуклом случае и линейная сходимость с экспонентой κ в сильно выпуклом случае. Также предложен ускоренный метод для задачи в общей выпуклой постановке со сходимостью $O(1/k^2)$ и предположение о возможности обобщения подхода к рассмотрению на сильно выпуклый случай. В работе [Guminov et al., 2019] рассматривается ускоренный метод бщей выпуклой постановке со сходимостью $O(1/k^2)$ и $\sqrt{\kappa}$ в сильно выпуклом случае. для произвольного числа блоков. Также стоит упомянуть обзорную работу [Hong et al., 2016].

В первой части работы доказываем адаптивность алгоритма 1 из [Nesterov et al., 2020] результат, который, по всей видимости, ранее не был опубликован, несмотря на обширные исследования различных модификаций метода [Guminov et al., 2019]. Таким образом получаем метод демонстрирующий скорость сходимости $O(1/k^2)$ в гладком случае и линейную с фактором κ в сильно выпуклом случае, причем при неизвестном значении параметра сильной выпуклости. Также обобщаем этот результат на случай альтернативной минимизации. Более того линейную сходимость получить при более слабом условии Поляка-Лоясиевича [Polyak, 1987].

Далее приводим обобщение ускоренного алгоритма альтернативной минимизации из работы [Guminov et al., 2019] (алгоритм 1) на сильно выпуклый случай.

Также рассматривается другой подход к ускорению альтернативной минимизации, основанный на работе [Ivanova et al., 2019], и проводится его сравнение с алгоритмом 1 из [Nesterov et al., 2020] и неускоренным методом альтернативной минимизации на примере задачи двойственной к задаче оптимального транспорта.

Адаптивность к сильной выпуклости ускоренного градиентного метода

Рассмотрим алгоритм 3 из работы [Nesterov et al., 2020]. Для его работы требует указать значение параметра сильной выпуклости оптимизируемой функции, тогда его сложность описывается выражением

$$f(x_k) - f(x_*) \leq \min \left\{ \frac{2LR^2}{k^2}, \left(1 - \sqrt{\frac{\mu}{L}}\right)^{(k-1)} LR^2 \right\}.$$

Если же значение параметра сильной выпуклости неизвестно, то можно запустить алгоритм с $\mu = 0$. В таком случае алгоритм 3 из [Nesterov et al., 2020] будет в точности представлять собой алгоритм 1 из той же работы, который приведен ниже. В этом случае авторы работы [Nesterov et al., 2020] гарантируют лишь сходимость со скоростью

$$f(x_k) - f(x_*) \leq \frac{2LR^2}{k^2}$$

Ниже приведен алгоритм 1 из [Nesterov et al., 2020]

Алгоритм 1 Accelerated Gradient Method with Small-Dimensional Relaxation (AGMsDR)

Выход: x^k

- 1: Полагаем $k = 0$, $A_0 = 0$, $x^0 = v^0$, $\psi_0(x) = V(x, x^0)$
- 2: for $k \geq 0$ do
- 3:

$$\beta_k = \arg \min_{\beta \in [0,1]} f\left(v^k + \beta(x^k - v^k)\right), \quad y^k = v^k + \beta_k(x^k - v^k). \quad (2)$$

- 4: Вариант а), значение L известно,

$$x^{k+1} = \arg \min_{x \in E} \left\{ f(y^k) + \langle \nabla f(y^k), x - y^k \rangle + \frac{L}{2} \|x - y^k\|_2^2 \right\}. \quad (3)$$

Найти a_{k+1} из уравнения $\frac{a_{k+1}^2}{A_k + a_{k+1}} = \frac{1}{L}$.

Вариант б),

$$h_{k+1} = \arg \min_{h \geq 0} f\left(y^k - h(\nabla f(y^k))^\# \right), \quad x^{k+1} = y^k - h_{k+1}(\nabla f(y^k))^\#. \quad (4)$$

Найти a_{k+1} из уравнения $f(y^k) - \frac{a_{k+1}^2}{2(A_k + a_{k+1})} \|\nabla f(y^k)\|_2^2 = f(x^{k+1})$.

- 5: Полагаем $A_{k+1} = A_k + a_{k+1}$.
- 6: Полагаем $\psi_{k+1}(x) = \psi_k(x) + a_{k+1} \{f(y^k) + \langle \nabla f(y^k), x - y^k \rangle\}$.
- 7: $v^{k+1} = \arg \min_{x \in E} \psi_{k+1}(x)$
- 8: $k = k + 1$
- 9: end for

Следующая лемма объясняет поведение Алгоритма 1, если оптимизируемая функция является сильно выпуклой, но значения параметра неизвестно. Но перед этим обратимся к [Polyak, 1987], где показано, что сильная выпуклость влечет за собой более слабое условие Поляка-Лоясиевича, которое выполняется для более широкого класса задач.

Лемма 1. Алгоритм 1 автоматически распознает сильно выпуклую задачу или задачу для которой выполнено условие Поляка-Лоясиевича и демонстрирует линейную скорость сходимости:

$$f(x^{k+1}) - f(x^*) \leq \prod_{i=0}^{k-1} \left(1 - \frac{\mu}{\hat{L}_i}\right) \cdot (f(x^0) - f(x^*)),$$

где $\hat{L}_i = \frac{A_i + a_{i+1}}{a_{i+1}^2}$ является оценкой локальной константы Липшица градиента функции L на i -й итерации.

Доказательство. Доказательство леммы основано на доказательстве теоремы 1 из [Nesterov et al., 2020], откуда было взято неравенство

$$\begin{aligned} f(x^{k+1}) &\leq f(y^k) + \langle \nabla f(y^k), x^{k+1} - y^k \rangle + \frac{L}{2} \|x^{k+1} - y^k\|_2^2 \\ &= \min_{x \in E} \left(f(y^k) + \langle \nabla f(y^k), x - y^k \rangle + \frac{L}{2} \|x - y^k\|_2^2 \right) = f(y^k) - \frac{1}{2L} \|\nabla f(y^k)\|_2^2. \end{aligned}$$

Это неравенство задает условие достаточного убывания

$$f(y^k) - \frac{a_{k+1}^2}{2(A_k + a_{k+1})} \|\nabla f(y^k)\|_2^2 = f(x^{k+1}) \geq f(y^{k+1})$$

где последнее неравенство получено в силу (2), откуда следует, что $f(y^k) \leq f(x^k)$. Скомпоновав данный результат с условием Поляка-Лоясиевича

$$\|\nabla f(y^k)\|_2^2 \geq 2\mu (F(y^k) - F(x^*))$$

которое является следствием сильной выпуклости, при этом константа в ПЛ-условии совпадает с константой сильной выпуклости, получим

$$(f(y^{k+1}) - f(x^*)) \leq \left(1 - \frac{\mu a_{k+1}^2}{A_k + a_{k+1}}\right) (f(y^k) - f(x^*)) \leq \prod_{i=0}^k \left(1 - \frac{\mu a_{i+1}^2}{A_i + a_{i+1}}\right) (f(x^0) - f(x^*))$$

И окончательнo, воспользуемся условием (4), которое обеспечивает $f(x^{k+1}) \leq f(y^k)$, получим линейную сходимость

$$f(x^{k+1}) - f(x^*) \leq \prod_{i=0}^{k-1} \left(1 - \frac{\mu a_{i+1}^2}{A_i + a_{i+1}}\right) (f(x^0) - f(x^*))$$

Также заметим, что $\frac{A_i + a_{i+1}}{a_{i+1}^2}$ является оценкой сверху локальной константы Липшица градиента функции на i -ой итерации. \square

Заметим также, что для глобальной константы Липшица градиента функции может выполняться $L \geq \frac{A_i + a_{i+1}}{a_{i+1}^2}$, что означает, что скорость сходимости может оказаться лучше чем с фактором $\kappa = \frac{\mu}{L}$, где L - глобальная константа Липшица градиента.

Таким образом данный алгоритм демонстрирует нижние оценки сложности на функциях с Липшицевым градиентом и адаптивность к сильно выпуклым функциям, но в последнем случае нижние границы сложности не достигаются.

Альтернативная минимизация

В этой секции рассмотрим вариацию Алгоритма 1 для задач, допускающих альтернативную минимизацию. В работе [Guminov et al., 2019] рассмотрена такая вариация для функций с липшицевым градиентом. Далее приводится модификация алгоритма для решения сильно выпуклых задач, допускающих альтернативную минимизацию.

Для удобства введем обозначения. Множество $\{1, \dots, N\}$ векторов $\{e_i\}_{i=1}^N$ ортонормированного базиса разделено на n непересекающихся блоков I_k , $k \in \{1, \dots, n\}$ (см. Введение). Пусть $S_k(x) = x + \text{span}\{e_i : i \in I_k\}$, подпространство, содержащее x построенное на базисных векторах k -го блока.

Алгоритм 2 Accelerated Alternating Minimization

Вход: Starting point x_0

Выход: x^k

1: Полагаем $A_0 = 0$, $x^0 = v^0$, $\tau_0 = 1$

2: for $k \geq 0$ do

3: Полагаем

$$\beta_k = \arg \min_{\beta \in [0,1]} f(x^k + \beta(v^k - x^k)) \quad (5)$$

4: Полагаем $y^k = x^k + \beta_k(v^k - x^k)$

5: Выбираем $i_k = \arg \max_{i \in \{1, \dots, n\}} \|\nabla_i f(y^k)\|_2^2$

6: Полагаем $x^{k+1} = \arg \min_{x \in S_{i_k}(y^k)} f(x)$

7: Если L известно находим a_{k+1} из уравнения $\frac{a_{k+1}^2}{(A_k + a_{k+1})(\tau_k + \mu a_{k+1})} = \frac{1}{Ln}$
Если L не известно находим a_{k+1} из уравнения

$$f(y^k) - \frac{a_{k+1}^2}{2(A_k + a_{k+1})(\tau_k + \mu a_{k+1})} \|\nabla f(y^k)\|_2^2 + \frac{\mu \tau_k a_{k+1}}{2(A_k + a_{k+1})(\tau_k + \mu a_{k+1})} \|v^k - y^k\|_2^2 = f(x^{k+1}) \quad (6)$$

8: Полагаем $A_{k+1} = A_k + a_{k+1}$, $\tau_{k+1} = \tau_k + \mu a_{k+1}$

9: Полагаем $v^{k+1} = \arg \min_{x \in \mathbb{R}^N} \psi_{k+1}(x)$

10: end for

Введем вспомогательную последовательность функций

$$\psi_0(x) = \frac{1}{2} \|x - x^0\|_2^2,$$

$$\psi_{k+1}(x) = \psi_k(x) + a_{k+1} \{f(y^k) + \langle \nabla f(y^k), x - y^k \rangle + \frac{\mu}{2} \|x - y^k\|_2^2\}.$$

Используя следующее обозначении

$$l_k(x) = \sum_{i=0}^k a_{i+1} \{f(y^i) + \langle \nabla f(y^i), x - y^i \rangle + \frac{\mu}{2} \|x - y^i\|_2^2\}$$

получим нереккурентное представление

$$\psi_{k+1}(x) = \psi_0(x) + l_k(x)$$

Заметим, что $\psi_k(x)$ is τ_k является сильно выпуклой функцией со значением параметра $\tau_k = 1 + \mu \sum_{i=0}^k a_i = 1 + \mu A_k$.

Лемма 2. После k итераций Алгоритма 2 выполняется

$$A_k f(x^k) \leq \min_{x \in \mathbb{R}^N} \psi_k(x) = \psi_k(v^k). \quad (7)$$

Более того, если функция с L липшицевым градиентом и $\mu \geq 0$ сильно выпукла, то

$$A_k \geq \max \left\{ \frac{k^2}{4Ln}, \frac{1}{nL} \left(1 - \sqrt{\frac{\mu}{nL}}\right)^{-k-1} \right\},$$

где n количество блоков, по которым допускается явная минимизация.

Доказательство. Докажем (7) индукцией по k . При $k = 0$ неравенство верно. Предположим

$$A_k f(x^k) \leq \min_{x \in \mathbb{R}^N} \psi_k(x) = \psi_k(v^k).$$

Тогда

$$\begin{aligned} \psi_{k+1}(v^{k+1}) &= \min_{x \in \mathbb{R}^N} \left\{ \psi_k(x) + a_{k+1} \{ f(y^k) + \langle \nabla f(y^k), x - y^k \rangle + \frac{\mu}{2} \|x - y^k\|_2^2 \} \right\} \\ &\geq \min_{x \in \mathbb{R}^N} \left\{ \psi_k(v^k) + \frac{\tau_k}{2} \|x - v^k\|_2^2 + a_{k+1} \{ f(y^k) + \langle \nabla f(y^k), x - y^k \rangle \right. \\ &\left. + \frac{\mu}{2} \|x - y^k\|_2^2 \right\} \geq \min_{x \in \mathbb{R}^N} \left\{ A_k f(x^k) + \frac{\tau_k}{2} \|x - v^k\|_2^2 + a_{k+1} \{ f(y^k) + \langle \nabla f(y^k), x - y^k \rangle + \frac{\mu}{2} \|x - y^k\|_2^2 \} \right\}, \end{aligned}$$

где была использовано, что ψ_k сильно выпуклая и имеет минимум в v^k и то, что $f(y^k) \leq f(x^k)$.

Условия оптимальности для $\min_{\beta \in [0,1]} f(x^k + \beta(v^k - x^k))$ гарантируют одно из

1. $\beta_k = 1$, $\langle \nabla f(y^k), x^k - v^k \rangle \geq 0$, $y^k = v^k$;
2. $\beta_k \in (0, 1)$ and $\langle \nabla f(y^k), x^k - v^k \rangle = 0$, $y^k = v^k + \beta_k(x^k - v^k)$;
3. $\beta_k = 0$ and $\langle \nabla f(y^k), x^k - v^k \rangle \leq 0$, $y^k = x^k$.

Во всех случаях будет верно $\langle \nabla f(y^k), v^k - y^k \rangle \geq 0$.

Таким образом

$$\psi_{k+1}(v^{k+1}) \geq \min_{x \in \mathbb{R}^N} \left\{ A_k f(y^k) + \frac{\tau_k}{2} \|x - v^k\|_2^2 + a_{k+1} \{ f(y^k) + \langle \nabla f(y^k), x - y^k \rangle + \frac{\mu}{2} \|x - y^k\|_2^2 \} \right\}$$

Решение задачи выше находится явно:

$$x = \frac{1}{\tau_{k+1}} (\tau_k v^k + \mu a_{k+1} y^k - a_{k+1} \nabla f(y^k)),$$

подставим его и используем то, что $\langle \nabla f(y^k), v^k - y^k \rangle \geq 0$, получим

$$\psi_{k+1}(v^{k+1}) \geq A_{k+1} f(y^k) - \frac{a_{k+1}^2}{2\tau_{k+1}} \|\nabla f(y^k)\|_2^2 + \frac{\mu \tau_k a_{k+1}}{2\tau_{k+1}} \|v^k - y^k\|_2^2.$$

Далее покажем, что

$$A_{k+1} f(y^k) - \frac{a_{k+1}^2}{2\tau_{k+1}} \|\nabla f(y^k)\|_2^2 + \frac{\mu \tau_k a_{k+1}}{2\tau_{k+1}} \|v^k - y^k\|_2^2 \geq A_{k+1} f(x^{k+1})$$

что завершит индукционный переход

Для этого, принимая во внимание, что f имеет L -липшицев градиент, получим $\forall i$

$$f(y^k) - \frac{1}{2L} \|\nabla_i f(y^k)\|_2^2 \geq f(x_i^{k+1}),$$

где $x_i^{k+1} = \arg \min_{x \in S_i} f(x)$. Так как $i_k = \arg \max_i \|\nabla_i f(y^k)\|_2^2$,

$$\|\nabla_{i_k} f(y^k)\|_2^2 \geq \frac{1}{n} \|\nabla f(y^k)\|_2^2$$

и

$$f(y^k) - \frac{1}{2Ln} \|\nabla f(y^k)\|_2^2 \geq f(y^k) - \frac{1}{2L} \|\nabla_{i_k} f(y^k)\|_2^2 \geq f(x^{k+1}),$$

Выбор a_{k+1} такого, что $\frac{a_{k+1}^2}{2A_{k+1}\tau_{k+1}} \geq \frac{1}{2Ln}$ означает

$$\begin{aligned} A_{k+1}f(y^k) - \frac{a_{k+1}^2}{2\tau_{k+1}} \|\nabla f(y^k)\|_2^2 + \frac{\mu\tau_k a_{k+1}}{2\tau_{k+1}} \|v^k - y^k\|_2^2 \\ \geq A_{k+1}f(y^k) - \frac{a_{k+1}^2}{2\tau_{k+1}} \|\nabla f(y^k)\|_2^2 \geq A_{k+1}f(y^k) - \frac{A_{k+1}}{2Ln} \|\nabla f(y^k)\|_2^2 \geq A_{k+1}f(x^{k+1}), \end{aligned}$$

что завершает доказательство шага индукции.

Преобразовав выражение для поиска a_{k+1} получим $\frac{a_{k+1}^2}{(A_k + a_{k+1})(\tau_k + \mu a_{k+1})} \geq \frac{1}{Ln}$.

Теперь оценим скорость роста последовательности A_k . $\tau_k = 1 + \mu \sum_{i=0}^k a_i = 1 + \mu A_k$. $\frac{a_{k+1}^2}{2A_{k+1}\tau_{k+1}} \geq \frac{1}{2Ln}$

$$a_k^2 \geq \frac{A_k \tau_k}{nL} = \frac{A_k + \mu A_k^2}{nL}$$

$$a_k \geq \frac{1}{\sqrt{nL}} \sqrt{A_k + \mu A_k^2} \geq \sqrt{\frac{\mu}{2Ln}} A_k \quad (8)$$

$$\sqrt{A_i} - \sqrt{A_{i-1}} \geq \frac{A_i - A_{i-1}}{\sqrt{A_i} + \sqrt{A_{i-1}}} \geq \frac{a_i}{2\sqrt{A_i}} \geq \frac{\sqrt{1 + \mu A_i}}{2\sqrt{Ln}}$$

Суммируя по $i = 1, \dots, k$ получим

$$A_k \geq \frac{k^2}{4Ln}$$

Также

$$A_{k+1} = A_k + a_{k+1} \geq A_k + \sqrt{\frac{\mu}{nL}} A_{k+1},$$

что означает

$$A_{k+1} \geq \left(1 - \sqrt{\frac{\mu}{nL}}\right)^{-1} A_k$$

Остается оценить A_1 :

$$A_1 = \frac{a_1^2}{A_1} \geq \frac{a_1^2}{(1 + \mu A_1)A_1} \geq \frac{a_1^2}{A_1 \tau_1} \geq \frac{1}{nL}$$

рекурсивно применяя полученные оценки, приходим к утверждению леммы:

$$A_k \geq \max \left\{ \frac{k^2}{4Ln}, \frac{1}{nL} \left(1 - \sqrt{\frac{\mu}{nL}}\right)^{-k+1} \right\}$$

□

Теорема 1. После k итераций Алгоритма 2 выполняется

$$f(x^k) - f(x_*) \leq nLR^2 \min \left\{ \frac{4}{k^2}, \left(1 - \sqrt{\frac{\mu}{nL}}\right)^{k-1} \right\} \quad (9)$$

Доказательство. From the convexity of $f(x)$ we have

$$l_k(x_*) = \sum_{i=0}^k a_{i+1} (f(y^i) + \langle \nabla f(y^i), x_* - y^i \rangle + \frac{\mu}{2} \|x_* - y^i\|_2^2) \leq A_{k+1} f(x_*).$$

По Лемме 2

$$\begin{aligned} A_k f(x^k) \leq \psi_k(v^k) \leq \psi_k(x_*) &= \frac{1}{2} \|x_* - x^0\|_2^2 \\ &+ \sum_{i=0}^{k-1} a_{i+1} (f(y^i) + \langle \nabla f(y^i), x_* - y^i \rangle + \frac{\mu}{2} \|x_* - y^i\|_2^2) \leq A_k f(x_*) + \frac{1}{2} \|x_* - x^0\|_2^2 \end{aligned}$$

И окончательно

$$f(x^k) - f(x_*) \leq \frac{R^2}{2A_k} \leq nLR^2 \min \left\{ \frac{4}{k^2}, \left(1 - \sqrt{\frac{\mu}{nL}}\right)^{k-1} \right\}.$$

□

Лемма 3. Алгоритм 2 автоматически распознает сильно выпуклую задачу или задачу для которой выполнено условие Поляка-Лоясиевича и демонстрирует линейную скорость сходимости:

$$f(x^{k+1}) - f(x^*) \leq \prod_{i=0}^{k-1} \left(1 - \frac{\mu}{\hat{L}_i}\right) \cdot (f(x^0) - f(x^*)),$$

где $\hat{L}_i = \frac{A_i + a_{i+1}}{a_{i+1}^2}$ является оценкой локальной константы Липшица градиента функции L на i -й итерации.

Доказательство. Доказательство повторяет доказательство Леммы 1. □

Экспериментальное сравнение

Большое количество исследований посвящено решению задач оптимального транспорта [Cuturi, 2013; Dvurechensky et al., 2018b; Guminov et al., 2019], поиску барицентров Вассерштейна [Kroshnin et al., 2019; Dvinskikh et al., 2019; Uribe et al., 2018; Dvurechensky et al., 2018a; Lin et al., 2020], а также много-маргинального оптимального транспорта [Lin et al., 2019; Tupitsa et al., 2020] двойственными методами. Все эти задачи допускают альтернативную минимизацию. Далее проводится экспериментальное сравнение представленных алгоритмов на примере задачи двойственной к энтропийно регуляризованной задаче дискретного оптимального транспорта (ЭОТ) [Guminov et al., 2019].

Как известно [Guminov et al., 2019], задача ЭОТ выглядит следующим образом:

$$f(u, v) = \gamma (\ln (\mathbf{1}^T B(u, v) \mathbf{1}) - \langle u, r \rangle - \langle v, c \rangle) \rightarrow \min_{u, v \in \mathbb{R}^N}, \quad (10)$$

где $[B(u, v)]^{ij} = \exp \left(u^i + v^j - \frac{C^{ij}}{\gamma} \right)$, $B, C \in \mathbb{R}_+^{N \times N}$, $\gamma \in \mathbb{R}_+$. Переменные в этой задаче естественным образом разделяются на два блока, и при фиксированных переменных одного блока удается явно

выписать решение условий оптимальности по другому блоку. Таким образом поочередно обновляя переменные и получается алгоритм Синхорна.

В работе [Dvurechensky et al., 2018b] представлен алгоритм APDAGD, который показал более быструю сходимость по сравнению с алгоритмом Синхорна.

В работе [Guminov et al., 2019] Алгоритм 2, примененный к этой задаче, показал себя наиболее стабильным и быстрым в сравнении с другими алгоритмами образом.

На рисунке 1 приводится экспериментальное сравнение Алгоритмов 1 и 2, а также алгоритма Синхорна и алгоритма APDAGD на примере задачи ЭОТ.

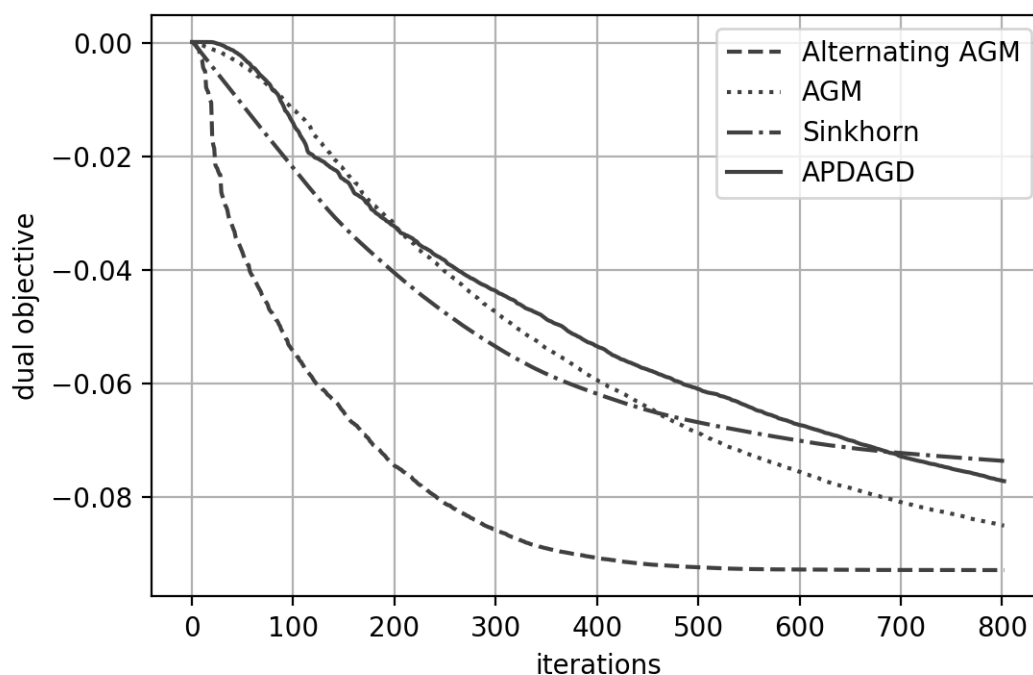


Рис. 1. Сходимость алгоритма Синхорна и методов AGM, Alternating AGM и APDAGD, примененных к ЭОТ

Следует заметить, что теоретические оценки сложности для Alternating AGM показывают, что для достижения заданной точности ему требуется в \sqrt{n} раз большее число итераций, чем для AGM, где n - число блоков по которым возможна альтернативная минимизация, причем для ЭОТ $n = 2$. Экспериментальное сравнение дает противоположные результаты. Одной из целей данной работы является попытка объяснения этого явления. Предполагается, что такое поведение связано с адаптивностью методов Alternating AGM и AGM к сильной выпуклости. Как известно, задача ЭОТ не является сильно-выпуклой так как значение целевой функции инвариантно на прямых, параллельных вектору $(\mathbf{1}, -\mathbf{1})$. Поэтому схожая сходимость методов AGM и APDAGD является ожидаемой, т.к. в не сильно выпуклом случае скорость сходимости имеет порядок $O(1/k^2)$. Alternating AGM также имеет сходимость порядка $O(1/k^2)$ для не сильно выпуклых функций, но, вероятно, распознает сильную выпуклость на подпространствах переменных u и v , ортогональных вектору $(\mathbf{1}, -\mathbf{1})$, что может приводить к наблюдаемой более быстрой сходимости.

Данная гипотеза была также проверена на квадратичных задачах

$$\min_z f(z) = \|Wz - b\|_2^2. \quad (11)$$

f является сильно-выпуклой с константой $\mu = \sqrt{\lambda_{\min}(W^T W)}$. Матрица W является симметричной.

Последняя задача может быть решена с помощью Алгоритма 1.

Построим эквивалентную задачу, допускающую альтернативную минимизацию путем разделения вектора z на два блока одинакового размера:

$$z = \begin{pmatrix} x \\ y \end{pmatrix}.$$

Также разделим матрицу W на 4 блока одинакового размера

$$W = \begin{pmatrix} AB \\ CD \end{pmatrix}$$

и вектор b на два

$$b = \begin{pmatrix} c \\ d \end{pmatrix}.$$

Тогда задача (11) будет эквивалентна задаче

$$\min_{x,y} \|Ax + By - c\|_2^2 + \|Cx + Dy - d\|_2^2. \quad (12)$$

Последняя задача допускает альтернативную минимизацию

$$\begin{aligned} x^{k+1} &= (A^T A + C^T C)^{-1} [A^T (c - By^k) + C^T (d - Dy^k)] \\ y^{k+1} &= (B^T B + D^T D)^{-1} [B^T (c - Ax^k) + D^T (d - Cx^k)] \end{aligned}$$

и может быть решена с помощью Алгоритма 2.

Результаты сравнения алгоритмов AGM и Alternating AGM, запущенных с $\mu = 0$ представлены на рисунках 2 и 3 для различных чисел обусловленности матрицы. $\kappa, \kappa_1, \kappa_2$ – числа обусловленности матриц W, A и D соответственно. По всей видимости, более быстрая сходимость связана с тем, что один из блоков (или оба блока) обусловлены лучше, чем вся задача.

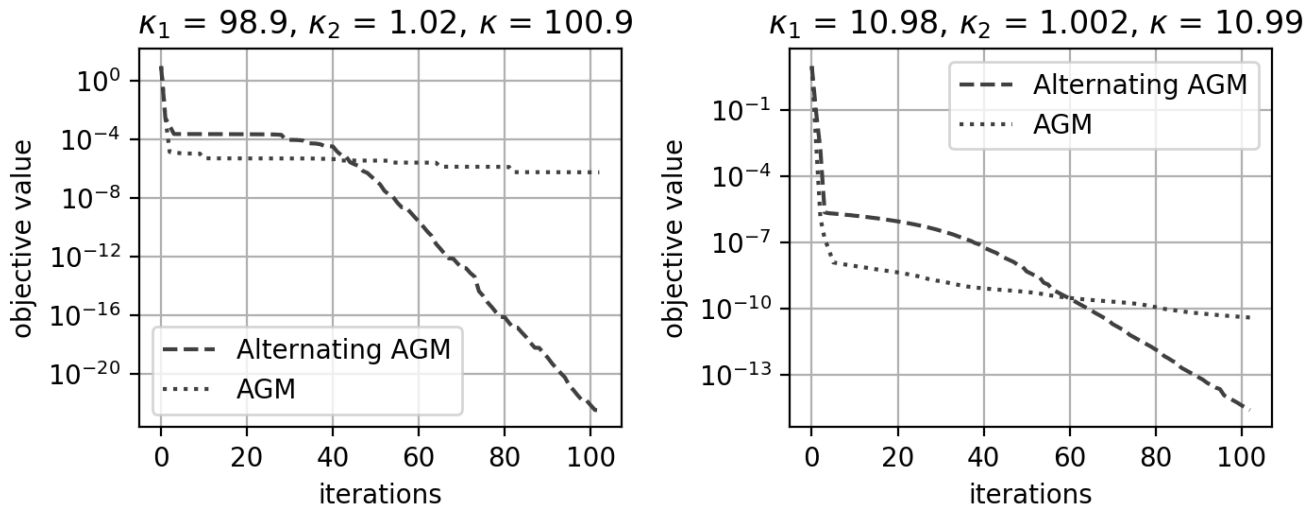


Рис. 2. Сходимость алгоритмов AGM и Alternating AGM, примененных к задачам (11) и (12) соответственно

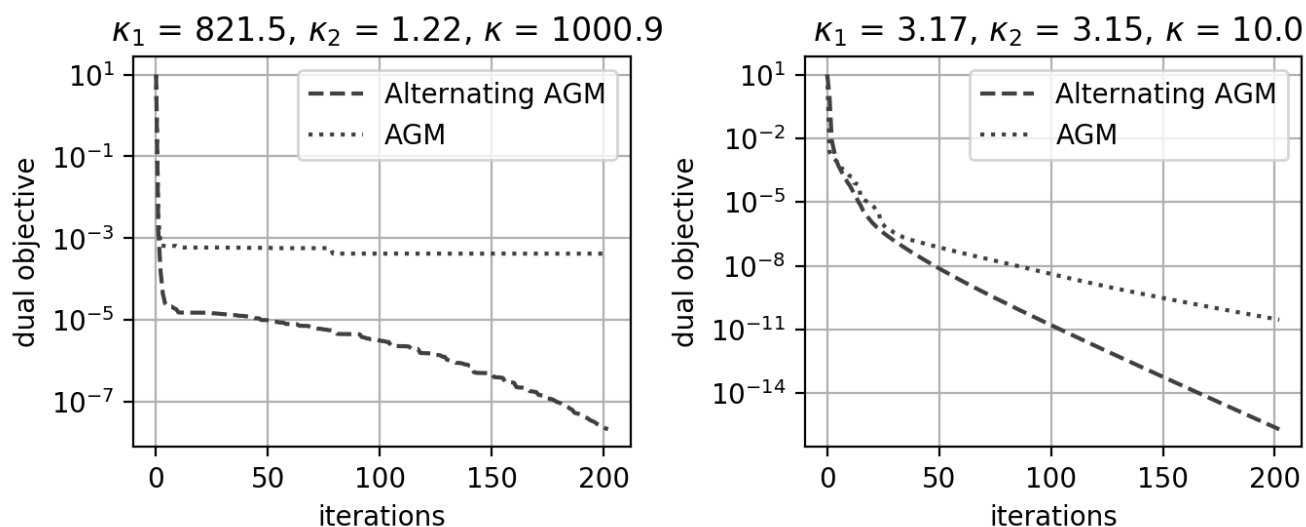


Рис. 3. Сходимость алгоритмов AGM и Alternating AGM, примененных к задачам (11) и (12) соответственно

Адаптивная каталист оболочка

В работе [Ivanova et al., 2019] рассматривается так называемая адаптивная каталист-оболочка, позволяющая ускорять методы. Для удобства приводим обозначения и алгоритм

$$F_{L,x}(y) = f(y) + \frac{L}{2} \|y - x\|_2^2,$$

f - минимизируемая функция.

Данный алгоритм был экспериментально изучен на задаче ALS и оказался успешным. Задача и подход к решению описаны в [Hu et al., 2008].

В связи с этим было произведено сравнение ускоренного с помощью адаптивной каталист-оболочки градиентного метода с адаптивным выбором шага [Nesterov, 2014; Kamzolov et al., 2020] для ЭОТ с алгоритмом Синхорна и методом APDAGD. Результаты представлены на рисунке 4.

Алгоритм 3 Adaptive Catalyst

Вход: Начальная точка x^0 , оценка $L_0 > 0$, параметры $\alpha > \beta > \gamma > 0$ и метод \mathcal{M} .

1: Полагаем $y^0 = z^0 = x^0$

2: for $k = 0, 1, \dots, N - 1$ do

3: $L_{k+1} = \beta \cdot \min \{ \alpha L_k, L_u \}$

4: $t = 0$

5: repeat

6: $t := t + 1$

7: $L_{k+1} := \max \{ L_{k+1}/\beta, L_d \}$

8: Вычисляем

$$a_{k+1} = \frac{1/L_{k+1} + \sqrt{1/L_{k+1}^2 + 4A_k/L_{k+1}}}{2},$$

$$A_{k+1} = A_k + a_{k+1},$$

$$x^{k+1} = \frac{A_k}{A_{k+1}} y^k + \frac{a_{k+1}}{A_{k+1}} z^k.$$

9: Вычисляем приближенное решение следующей задачи спомощью вспомогательного неускоренного метода \mathcal{M}

$$y^{k+1} \approx \arg \min_y F_{L, x^{k+1}}(y)$$

10: Запуская метод \mathcal{M} из точки x^{k+1} и ожидая на выходе точку y^{k+1} делаем N_t итераций и проверяем адаптивный критерий останковки:

$$\|\nabla F_{L, x^{k+1}}(y^{k+1})\|_2 \leq \frac{L_{k+1}}{2} \|y^{k+1} - x^{k+1}\|_2. \quad (13)$$

11: until $t > 1$ and $N_t \geq \gamma \cdot N_{t-1}$ or $L_{k+1} = L_d$

12: $z^{k+1} = z^k - a_{k+1} \nabla f(y^{k+1})$

13: end for

14: Output: y^N

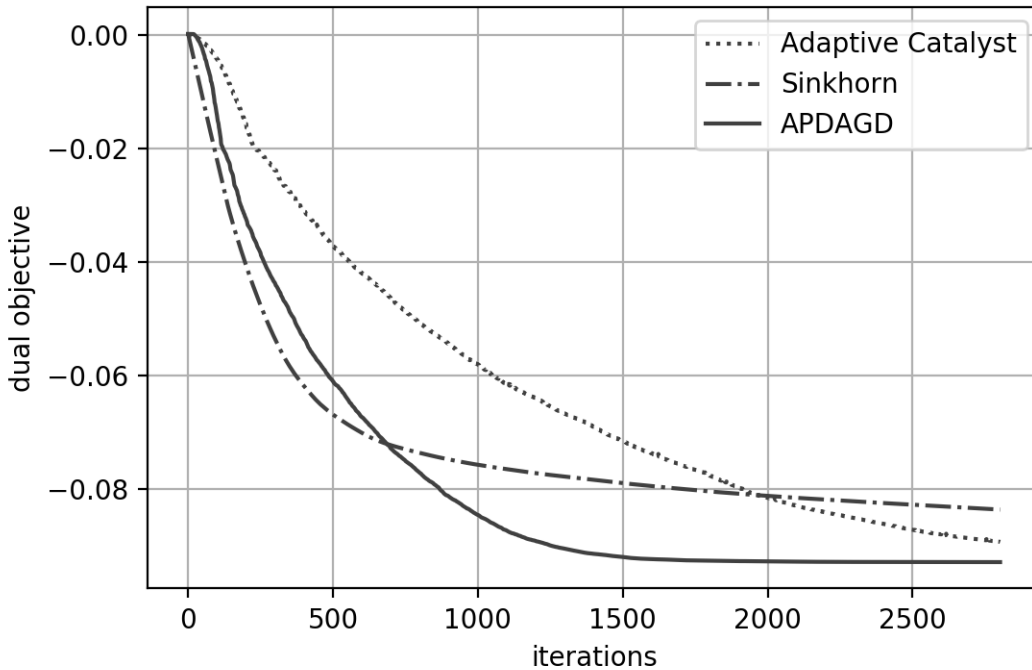


Рис. 4. Сходимость алгоритма Синхорна и каталист-оболчки, примененной к ЭОТ

Заключение

Представлено доказательство нового режима сходимости для ранее известного метода AGMsDR из [Nesterov et al., 2020] и для обобщения этого метода на задачи, допускающие альтернативную минимизацию из [Guminov et al., 2019]. А именно режим линейной сходимости в случае задач для которых выполняется условие Поляка-Лоясиевича или сильно выпуклых задач, если константа μ в этих условиях неизвестна.

Произведено экспериментальное сравнение AGM и Alternating AGM и выявлено расхождение с теоретическими оценками этих методов на примере задачи ЭОТ и задачи минимизации квадратичной функции. Представлено объяснение такого поведения, связанное с возможной адаптивностью к сильной выпуклости на блоках переменных метода Alternating AGM, которое требует более детального изучения.

Также представлено ускорение градиентного метода с помощью адаптивной каталистооболочки для задачи ЭОТ, и показана неоправданность применения данного алгоритма на практике для данной задачи.

Список литературы (References)

- Beck A. On the Convergence of Alternating Minimization for Convex Programming with Applications to Iteratively Reweighted Least Squares and Decomposition Schemes // *SIAM Journal on Optimization*. — 2015. — Vol. 25, no. 1. — P. 185–209.
- Bertsekas D. P., Tsitsiklis J. N. *Parallel and Distributed Computation: Numerical Methods*. — Upper Saddle River, NJ, USA: Prentice-Hall, Inc., 1989.
- Chambolle A., Tan P., Vaiter S. Accelerated Alternating Descent Methods for Dykstra-Like Problems // *Journal of Mathematical Imaging and Vision*. — 2017. — Nov. — Vol. 59, no. 3. — P. 481–497.
- Cuturi M. Sinkhorn Distances: Lightspeed Computation of Optimal Transport // *Advances in Neural Information Processing Systems 26* / Burges C. J. C., Bottou L., Welling M. et al. (ed.). — Curran Associates, Inc., 2013. — P. 2292–2300.
- Diakonikolas J., Orecchia L. Alternating Randomized Block Coordinate Descent // *Proceedings of the 35th International Conference on Machine Learning* / Dy J., Krause A. (ed.). — Vol. 80 of *Proceedings of Machine Learning Research*. — Stockholmsmässan, Stockholm Sweden: PMLR, 2018. — 10–15 Jul. — P. 1224–1232.
- Dvinskikh D., Gorbunov E., Gasnikov A. et al. On Primal and Dual Approaches for Distributed Stochastic Convex Optimization over Networks // *2019 IEEE 58th Conference on Decision and Control (CDC)*. — 2019. — P. 7435–7440. — arXiv:1903.09844.
- Dvurechensky P., Dvinskikh D., Gasnikov A. et al. Decentralize and Randomize: Faster Algorithm for Wasserstein Barycenters // *Advances in Neural Information Processing Systems 31* / Bengio S., Wallach H., Larochelle H. et al. (ed.). — *NeurIPS 2018*. — Curran Associates, Inc., 2018a. — P. 10783–10793. — arXiv:1806.03915.
- Dvurechensky P., Gasnikov A., Kroshnin A. Computational Optimal Transport: Complexity by Accelerated Gradient Descent Is Better Than by Sinkhorn’s Algorithm // *Proceedings of the 35th International Conference on Machine Learning* / Dy J., Krause A. (ed.). — Vol. 80 of *Proceedings of Machine Learning Research*. — Stockholmsmässan, Stockholm Sweden: PMLR, 2018b. — 10–15 Jul. — P. 1367–1376.
- Guminov S. V., Nesterov Y. E., Dvurechensky P. E., Gasnikov A. V. Accelerated Primal-Dual Gradient Descent with Linesearch for Convex, Nonconvex, and Nonsmooth Optimization Problems // *Doklady Mathematics*. — 2019. — Mar. — Vol. 99, no. 2. — P. 125–128.
- Guminov S., Dvurechensky P., Tupitsa N., Gasnikov A. Accelerated Alternating Minimization, Accelerated Sinkhorn’s Algorithm and Accelerated Iterative Bregman Projections // *arXiv e-prints*. — 2019. — Jun. — P. arXiv:1906.03622.

- Hong M., Razaviyayn M., Luo Z., Pang J. A Unified Algorithmic Framework for Block-Structured Optimization Involving Big Data: With applications in machine learning and signal processing // *IEEE Signal Processing Magazine*. — 2016. — Jan. — Vol. 33, no. 1. — P. 57–77.
- Hong M., Wang X., Razaviyayn M., Luo Z.-Q. Iteration complexity analysis of block coordinate descent methods // *Mathematical Programming*. — 2017. — May. — Vol. 163, no. 1. — P. 85–114.
- Hu Y., Koren Y., Volinsky C. Collaborative Filtering for Implicit Feedback Datasets // *2008 Eighth IEEE International Conference on Data Mining*. — 2008. — Dec. — P. 263–272.
- Ivanova A., Pasechnyuk D., Grishchenko D. et al. Adaptive Catalyst for Smooth Convex Optimization // *arXiv e-prints*. — 2019. — nov. — P. arXiv:1911.11271.
- Kamzolov D., Dvurechensky P., Gasnikov A. V. Universal intermediate gradient method for convex problems with inexact oracle // *Optimization Methods and Software*. — 2020. — Vol. 0, no. 0. — P. 1–28. — arXiv:1712.06036.
- Kroshnin A., Tupitsa N., Dvinskikh D. et al. On the Complexity of Approximating Wasserstein Barycenters // *Proceedings of the 36th International Conference on Machine Learning / Chaudhuri K., Salakhutdinov R. (ed.)*. — Vol. 97 of *Proceedings of Machine Learning Research*. — Long Beach, California, USA: PMLR, 2019. — 09–15 Jun. — P. 3530–3540. — arXiv:1901.08686.
- Lin T., Ho N., Chen X. et al. Computational Hardness and Fast Algorithm for Fixed-Support Wasserstein Barycenter // *arXiv e-prints*. — 2020. — feb. — P. arXiv:2002.04783.
- Lin T., Ho N., Cuturi M., Jordan M. I. On the Complexity of Approximating Multimarginal Optimal Transport // *arXiv e-prints*. — 2019. — sep. — P. arXiv:1910.00152.
- Luo Z.-Q., Tseng P. Error bounds and convergence analysis of feasible descent methods: a general approach // *Annals of Operations Research*. — 1993. — Mar. — Vol. 46, no. 1. — P. 157–178.
- Nesterov Y. Universal gradient methods for convex optimization problems // *Mathematical Programming*. — 2014. — 05. — Vol. 152.
- Nesterov Y., Gasnikov A., Guminov S., Dvurechensky P. Primal-dual accelerated gradient methods with small-dimensional relaxation oracle // *Optimization Methods and Software*. — 2020. — P. 1–28. — arXiv:1809.05895.
- Nutini J., Schmidt M., Laradji I. et al. Coordinate Descent Converges Faster with the Gauss-Southwell Rule Than Random Selection // *Proceedings of the 32nd International Conference on Machine Learning / Bach F., Blei D. (ed.)*. — Vol. 37 of *Proceedings of Machine Learning Research*. — Lille, France: PMLR, 2015. — 07–09 Jul. — P. 1632–1641.
- Ortega J. M., Rheinboldt W. C. *Iterative Solution of Nonlinear Equations in Several Variables*. — Philadelphia, PA, USA: Society for Industrial and Applied Mathematics, 2000.
- Polyak B. *Introduction to Optimization*. — New York, Optimization Software, 1987.
- Sun R., Hong M. Improved Iteration Complexity Bounds of Cyclic Block Coordinate Descent for Convex Problems // *Proceedings of the 28th International Conference on Neural Information Processing Systems - Volume 1*. — NIPS'15. — Cambridge, MA, USA: MIT Press, 2015. — P. 1306–1314.
- Tupitsa N., Dvurechensky P., Gasnikov A., Uribe C. A. Multimarginal Optimal Transport by Accelerated Alternating Minimization // *arXiv e-prints*. — 2020. — apr. — P. arXiv:2004.02294.
- Uribe C. A., Dvinskikh D., Dvurechensky P. et al. Distributed Computation of Wasserstein Barycenters Over Networks // *2018 IEEE Conference on Decision and Control (CDC)*. — 2018. — P. 6544–6549. — arXiv:1803.02933.